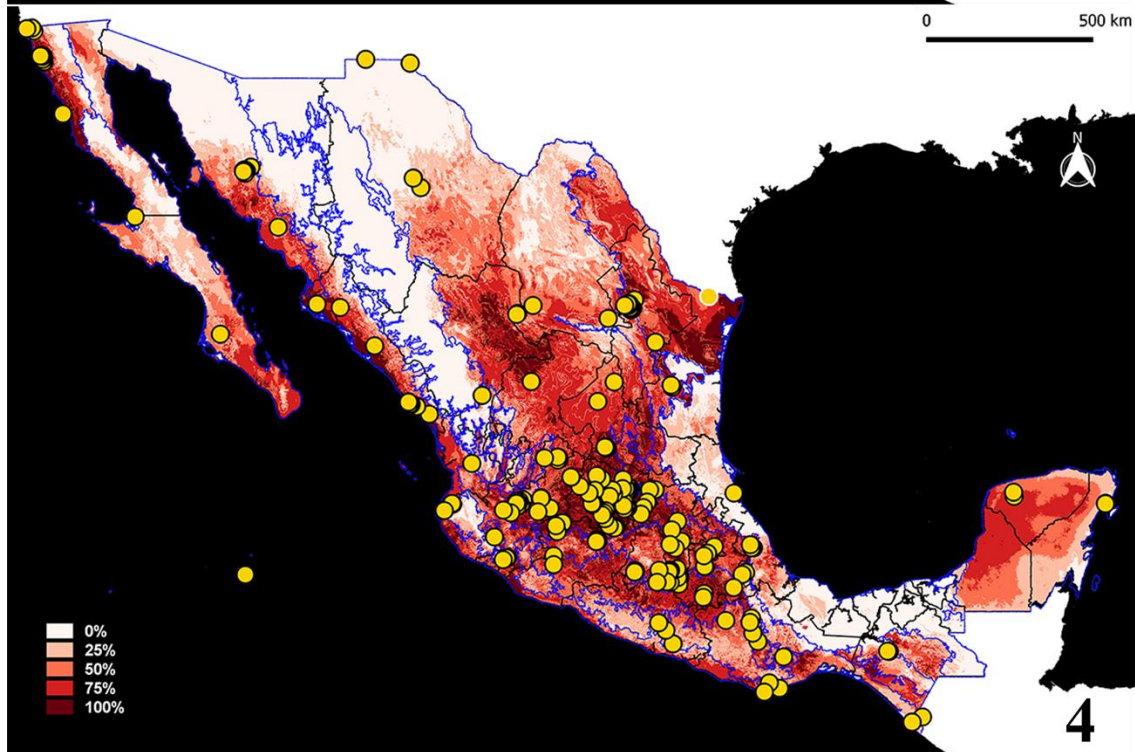
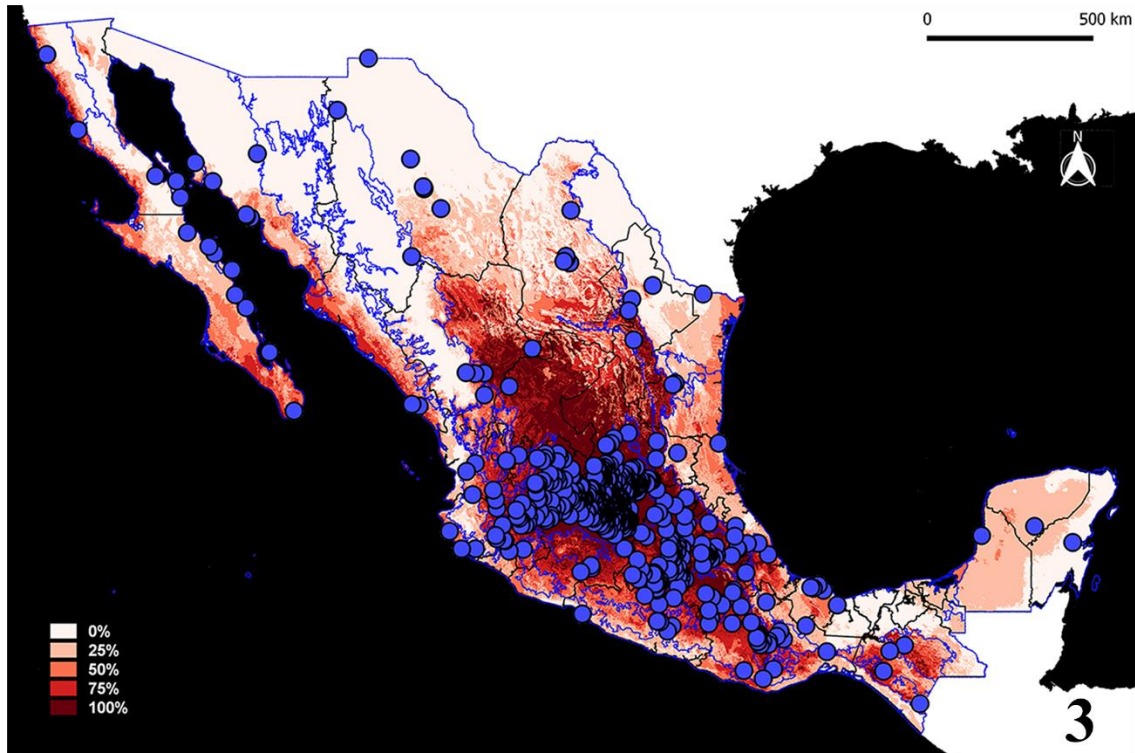
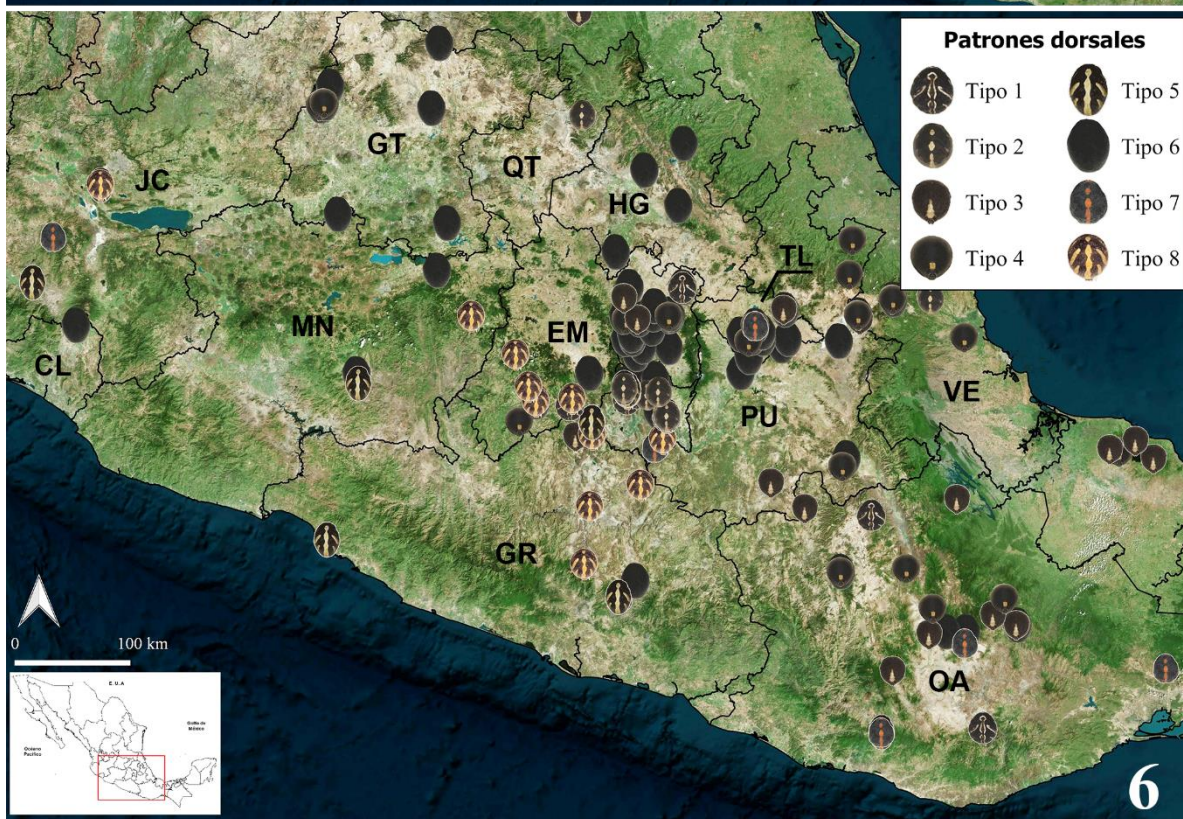


Figuras 1, 2. Registros y distribución potencial de las tres especies del género *Latrodectus* de México: *L. geometricus* (●), *L. hesperus* (●), *L. mactans* (●) y *Latrodectus* sp. (●) (ejemplares juveniles que no pudieron identificarse). 1) Registros totales con base en las Provincias Biogeográficas propuestas por Morrone (2017). 2) Modelaje de Nicho Ecológico (MNE) del género *Latrodectus* (todos los registros) bajo el algoritmo de Maxent. Escala de colores: colores rojos más oscuros muestran áreas con mejores condiciones de predicción (0-100). Líneas azules muestran las provincias biogeográficas de acuerdo con la clasificación de Morrone (2017). Líneas negras muestran la división política de México.



Figuras 3, 4. Modelaje de Nicho Ecológico (MNE) bajo el algoritmo de Maxent. 3) MNE basado en los registros (●) de *L. mactans*. 4) MNE basado en los registros (●) de *L. geometricus*. Escala de colores: colores rojos más oscuros muestran áreas con mejores condiciones de predicción (0-100). Líneas azules muestran las provincias biogeográficas de acuerdo con la clasificación de Morrone (2017). Líneas negras muestran la división política de México.



Figuras 5, 6. 5) Registros de los ocho tipos de patrón dorsal del opistosoma de las hembras de *L. mactans* en México. 6) Patrones dorsales mostrados a detalle para la región Centro-Sur de México.

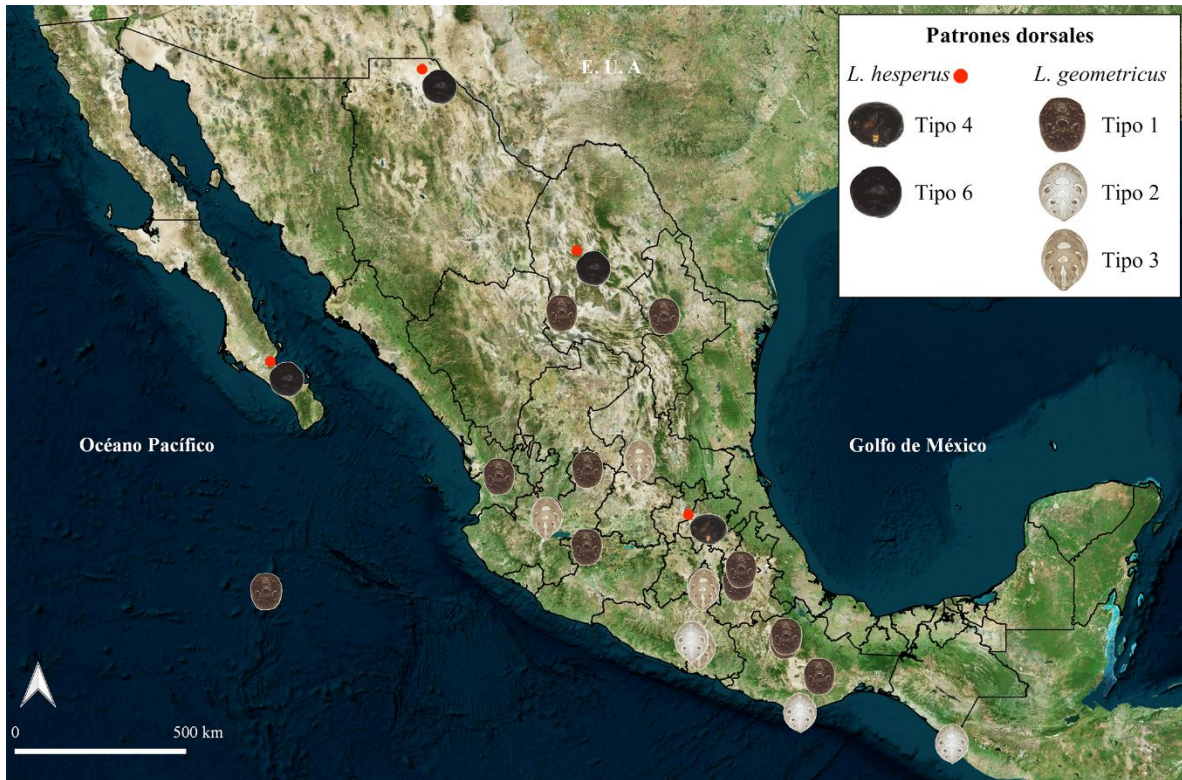
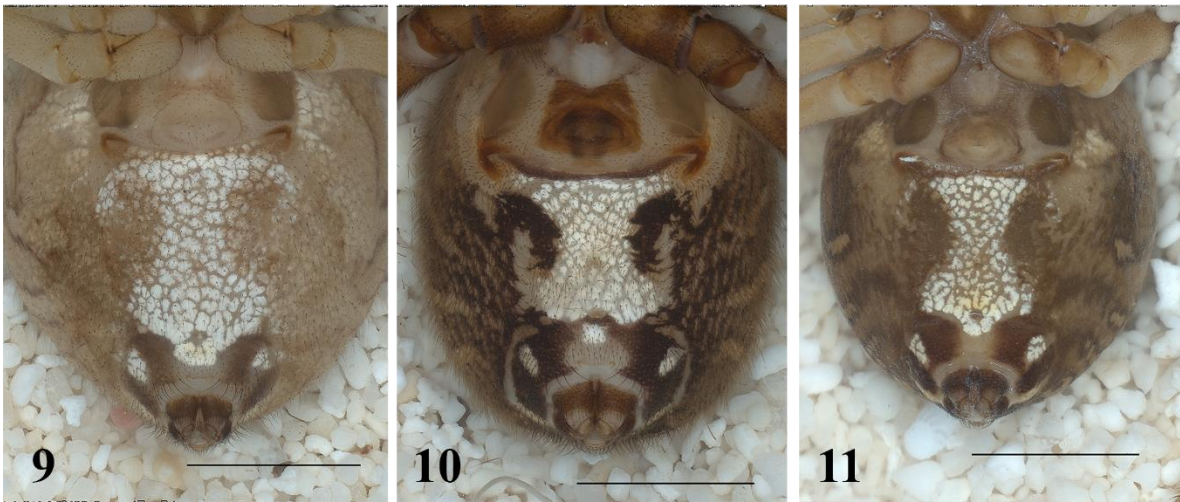
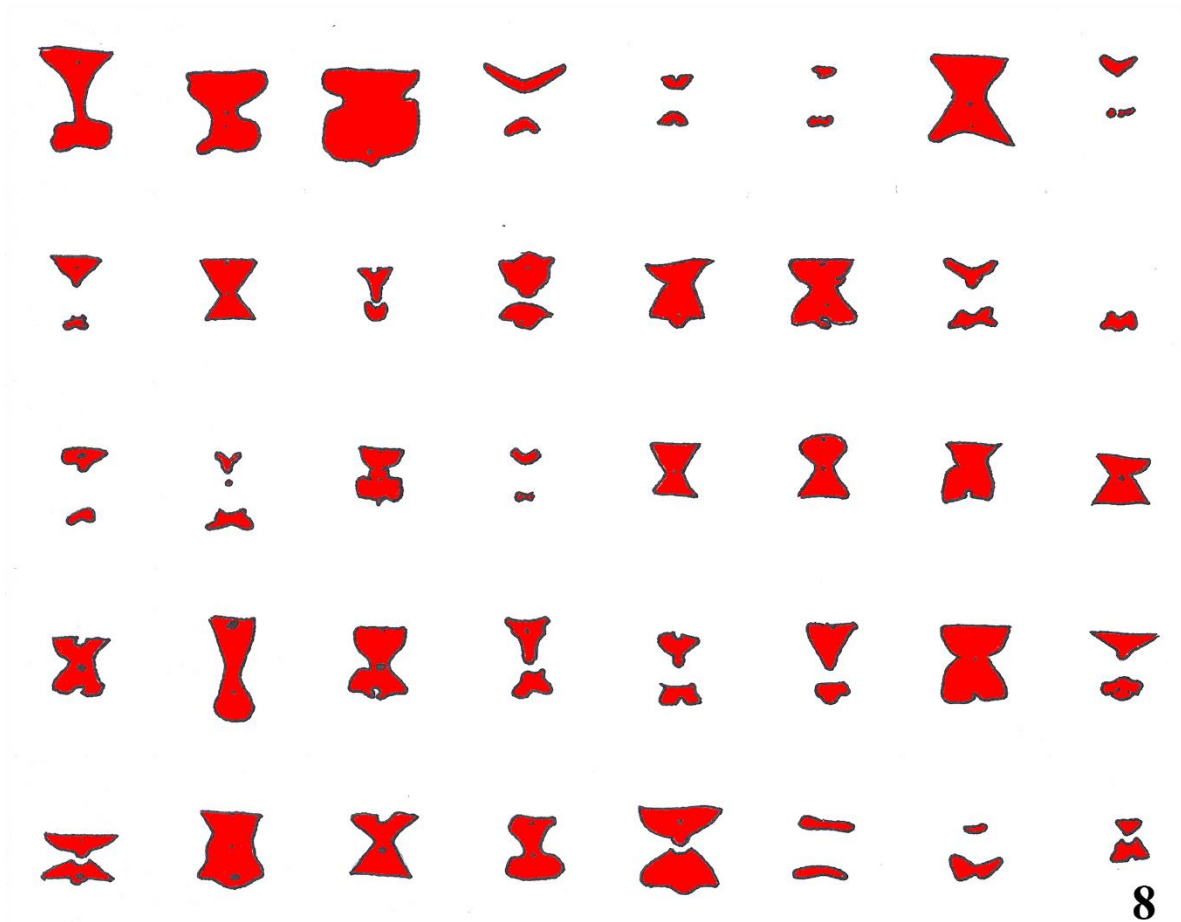
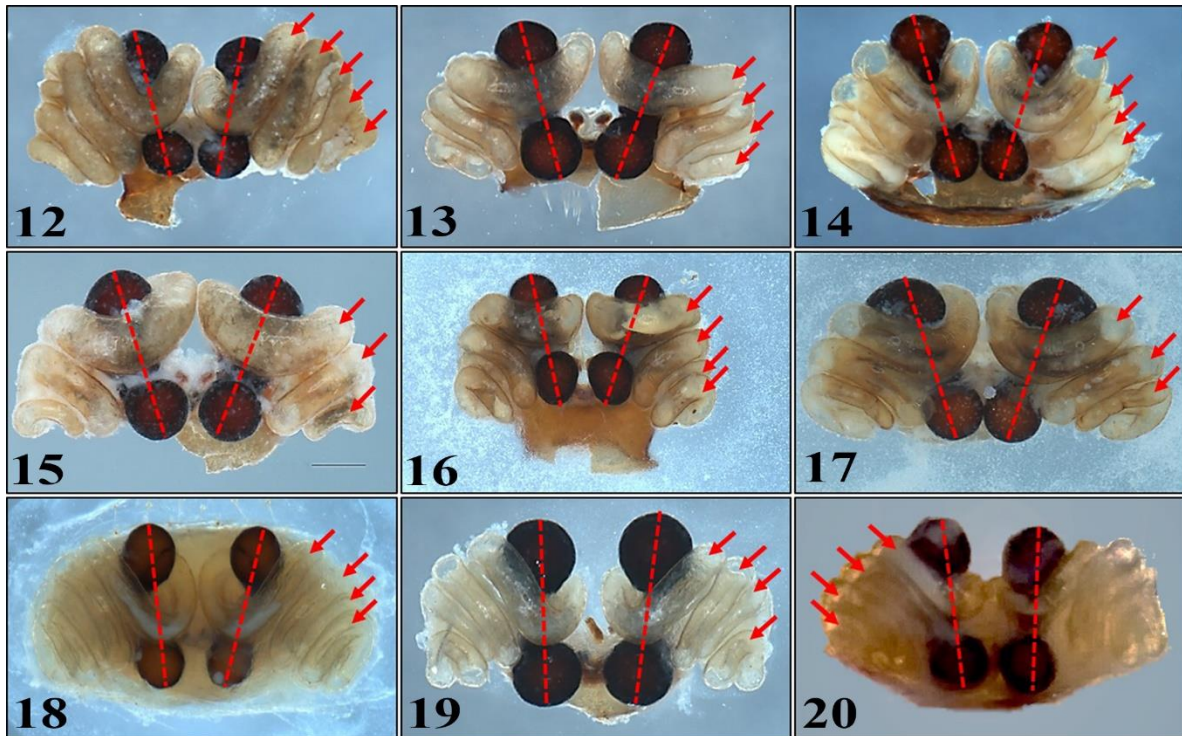


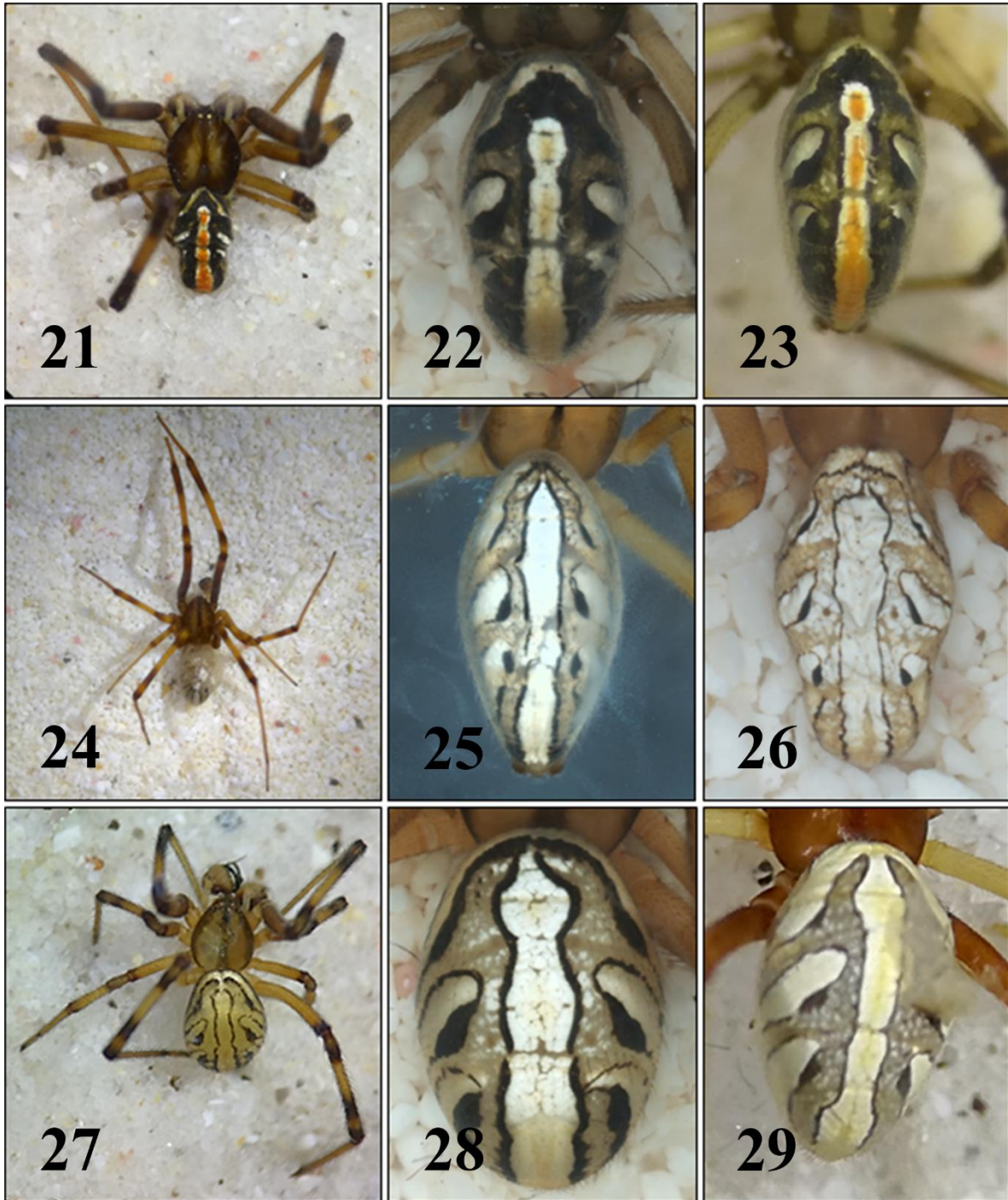
Figura 7. Registros de los tipos de patrón dorsal del opistosoma de las hembras de *L. hesperus* y *L. geometricus* en México.



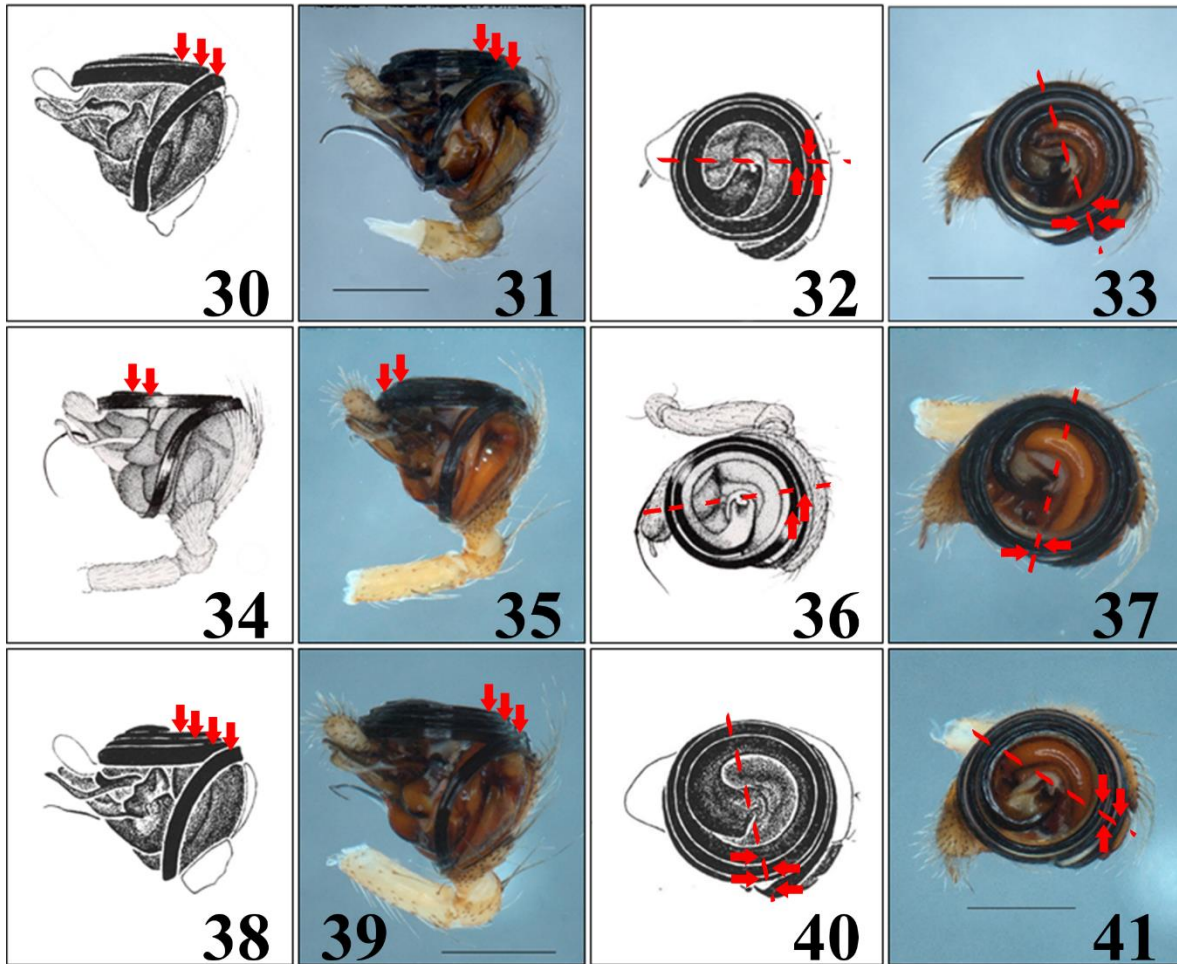
Figuras 8-11. Variación observada de los tipos de patrones ventrales (40) del opistosoma en forma de “reloj de arena” en ejemplares hembra de México. 8) *Latrodectus mactans*. 9-11) *Latrodectus geometricus*, la coloración blanca es debido a que los ejemplares observados en alcohol etílico pierden sus tonalidades rojas o anaranjadas. Escalas: 2 mm.



Figuras 12-20. Vista dorsal de los epiginios de hembras de las tres especies de arañas del género *Latrodectus* de México. 12-14) *Latrodectus mactans*. 15-17) *Latrodectus hesperus*. 18-20) *Latrodectus geometricus*. Flechas señalan las vueltas del ducto copulador. Líneas punteadas señalan el ángulo de las espermatecas entre sí. Escalas: 0.5mm.



Figuras 21-29. Variación de los patrones dorsales observados del opistosoma y coloración general de los machos de *Latrodectus* de México. 21-23) *Latrodectus mactans*. 24-26) *Latrodectus hesperus*. 27-29) *Latrodectus geometricus*.



Figuras 30-41. Comparación del número de vueltas del émbolo de los pedipalpos de machos de las tres especies de arañas del género *Latrodectus* de México. Flechas indican el número de vueltas del émbolo, líneas discontinuas indican dónde comienza y dónde termina cada vuelta. 30-33) *Latrodectus mactans*. 34-37) *Latrodectus hesperus*. 38-41) *Latrodectus geometricus*. 30, 32) Tomado y modificado de Levi (1959). 34, 36) Tomado y modificado de Kaston (1970). 38, 40) Tomado y modificado de Levi (1959). Escalas: 0.5mm.